



## Marzo de 2026

Los patrones sinópticos y las características principales del régimen de lluvias durante el mes de marzo, estuvieron dominados por:

- Una distribución espacial altamente contrastante, con **déficits de precipitación generalizados** a escala nacional y excesos puntuales asociados a forzamientos dinámicos específicos.
- El **régimen de precipitación** en Colombia se caracterizó por el predominio de **anomalías negativas**, especialmente en las regiones Pacífica, occidente de la Andina, Orinoquía y Amazonía, donde se presentaron reducciones significativas de los acumulados mensuales respecto al promedio multianual. En contraste, los **excesos de lluvia** fueron espacialmente limitados, concentrándose de forma generalizado en algunos departamentos de la región Caribe e Insular y en sectores de la región Andina, así como en zonas aisladas y puntuales del sureste de la región Pacífica, norte y suroccidente de la Orinoquía, sin compensar el comportamiento deficitario dominante del mes. A pesar de este contexto seco, se registraron episodios aislados de lluvia intensa, los cuales fueron suficientemente fuertes para superar **máximos históricos** de precipitación en un número reducido de estaciones, evidenciando una alta variabilidad temporal del régimen pluviométrico.
- Desde el punto de vista térmico, se presentaron **temperaturas máximas con anomalías positivas predominantes** en la mayor parte del país, en coherencia con los déficits de precipitación observados. En cuanto a la **temperatura mínima**, predominaron anomalías positivas en gran parte de la región Andina central, reduciendo el riesgo de heladas meteorológicas; no obstante, se presentaron eventos fríos puntuales que llevaron a la superación de mínimos históricos, principalmente en sectores del sur y centro del país, reflejando una marcada variabilidad térmica.
- La **circulación atmosférica** desempeñó un papel determinante en la configuración de estos patrones. En **niveles bajos** (850 hPa), la presencia de flujos del noreste y este favoreció el barrido de humedad en amplias zonas de la Orinoquía y Amazonía, contribuyendo a los déficits de precipitación, mientras que vientos más débiles o convergentes en sectores del occidente y centro del país permitieron el desarrollo de convección localizada. En **niveles medios** (700 y 500 hPa), el predominio de flujos anómalos zonales del oeste con velocidades moderadas favoreció la ventilación atmosférica sin inducir ascensos generalizados. En **niveles altos** (200 hPa), la configuración de una dorsal asociada a la advección de humedad desde la Amazonía brasileña, vinculada a la Alta de Bolivia, promovió la difluencia en altura, facilitando episodios convectivos puntuales.
- A escala **sinóptica**, la onda intraestacional **MJO** se mantuvo mayoritariamente en fase subsidente sobre las longitudes de mayor influencia para Colombia, condición coherente con la supresión generalizada de la convección y los déficits de precipitación observados durante el mes. No obstante, la **MJO** coincidió temporalmente con el día más lluvioso del periodo, actuando como un modulador puntual de la actividad convectiva, sin constituirse en el forzante dominante del régimen pluviométrico mensual. De manera complementaria, la presencia de **anomalías positivas de agua total precipitable (PWAT)**, junto con una señal bien definida de **onda de baja frecuencia (LOW)** y el tránsito de **Ondas Ecuatoriales de Rossby**, proporcionó el forzamiento dinámico necesario para explicar los excesos de precipitación localizados, especialmente en aquellos periodos en los que se configuraron condiciones favorables para el desarrollo convectivo. Adicionalmente, la **Vaguada Monzónica** como la ZCIT en el Pacífico, se mantuvo activa en algunos momentos del mes, con oscilaciones latitudinales entre el norte, centro y sur del país, observándose en algunas ocasiones una configuración de doble ramal, lo que favoreció zonas de convergencia reforzada. En el Atlántico, la **Zona de Convergencia Intertropical (ZCIT)** se localizó predominantemente entre 0° y 5°S. En cuanto a la **Zona de Convergencia del Atlántico Sur (ZCAS)**, esta favoreció algunos episodios de advección de humedad desde el norte de Brasil hacia el sur, oriente y centro del país, contribuyendo al mantenimiento de focos de humedad relevantes durante algunos periodos del mes. Finalmente, el tránsito de sistemas frontales, junto con vaguadas prefrontales y líneas de inestabilidad, ejerció una influencia directa e indirecta sobre los episodios extremos de precipitación registrados en el norte del territorio colombiano, especialmente en la región Caribe, sin modificar el patrón deficitario predominante que caracterizó el comportamiento pluviométrico mensual.

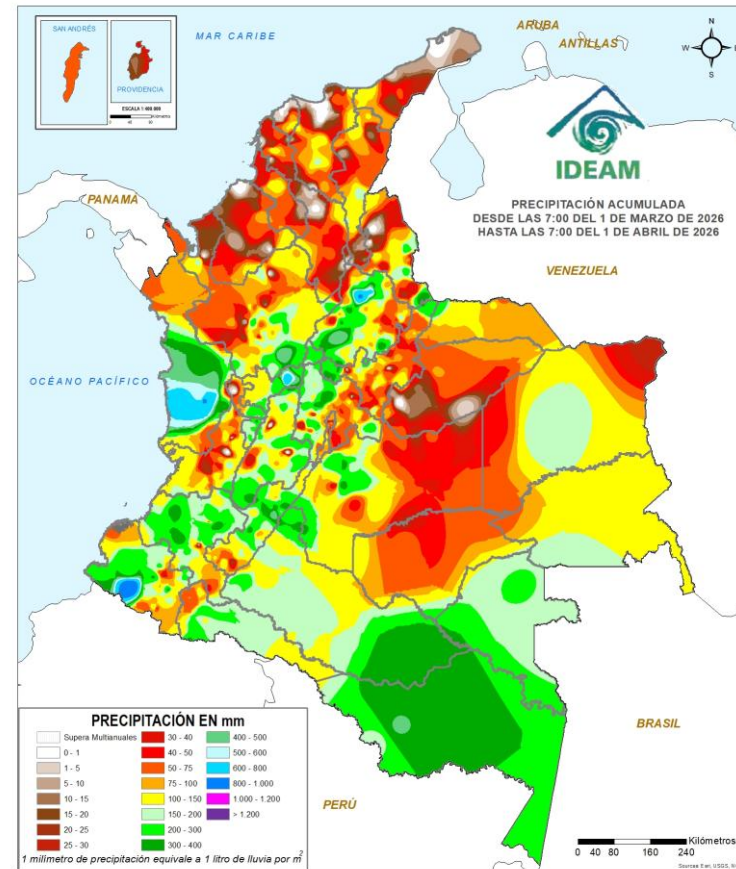
# ANOMALÍA DE PRECIPITACIÓN

La precipitación acumulada y la anomalía ponderada de la lluvia (**Figuras 1 y 2**), correspondientes al mes de marzo, se caracterizaron por **déficits** de precipitación en gran parte del **territorio colombiano**. No obstante, se registraron **anomalías positivas** extendidas en algunas zonas de las regiones Caribe, Andina y el norte de la Orinoquía, así como en áreas aisladas del suroriente de la región Pacífica y del noroccidente de la Amazonía.

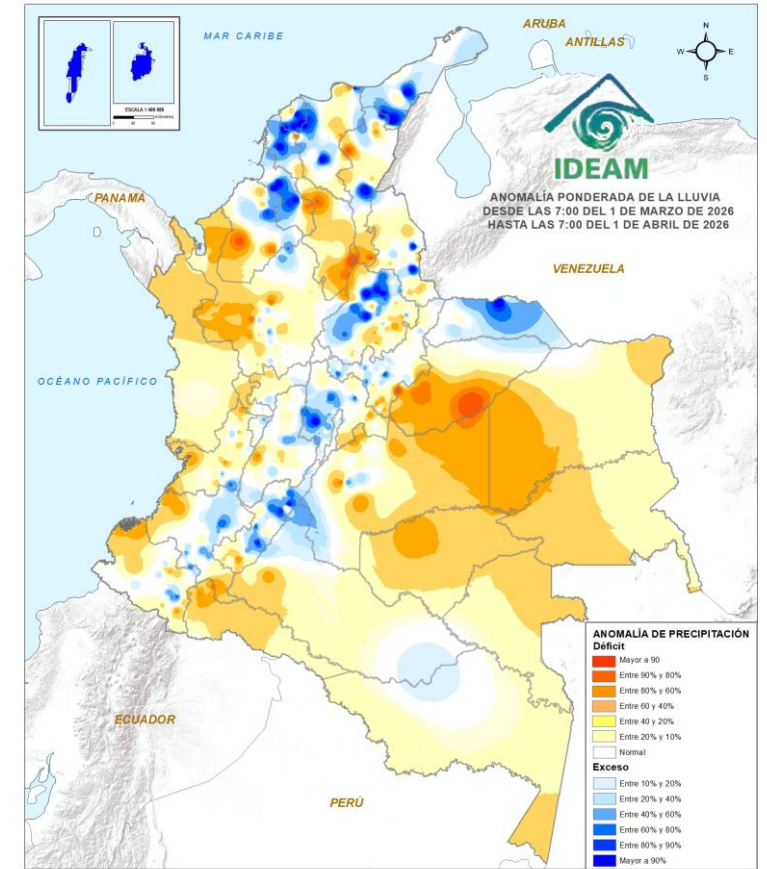
La **región Caribe** presentó un panorama contrastante, con predominio de **anomalías positivas** de precipitación de forma generalizada en los sectores norte, centro y nororiente, incluyendo el **Archipiélago de San Andrés, Providencia y Santa Catalina**. En contraste, en el resto de la región se observaron condiciones entre **deficitarias** y cercanas a lo **normal**.

En la **región Pacífica**, las condiciones pluviométricas se mantuvieron **por debajo** de los valores históricos; sin embargo, se registraron **anomalías positivas** locales y aisladas, especialmente hacia el sector suroccidental de la región.

**Figura 1. Precipitación acumulada mensual**  
Marzo 2026



**Figura 2. Anomalía ponderada de la precipitación**  
Marzo 2026



**Fuente:** Grupo de profesionales de incendios y deslizamientos

# ANOMALÍA DE PRECIPITACIÓN

La **región Andina** también evidenció un comportamiento contrastante de las lluvias, con **excesos** de precipitación de carácter generalizado en los sectores nororiental, central y sur. En el resto de la región, particularmente hacia el oriente, las precipitaciones oscilaron entre condiciones **deficitarias** y cercanas a lo **normal** (ver Figuras 1 y 2).

En la mayor parte de la **Orinoquía** se observaron precipitaciones **por debajo** de lo normal; no obstante, se presentaron **anomalías positivas** generalizadas en sectores del norte, así como en áreas aisladas del suroccidente de la región.

La **región Amazónica** se caracterizó predominantemente por condiciones **deficitarias**; sin embargo, en su zona central las precipitaciones se mantuvieron dentro de los rangos **normales**, salvo en áreas aisladas del noroccidente, donde se registraron **anomalías positivas** de precipitación.

Figura 1. Precipitación acumulada mensual  
Marzo 2026

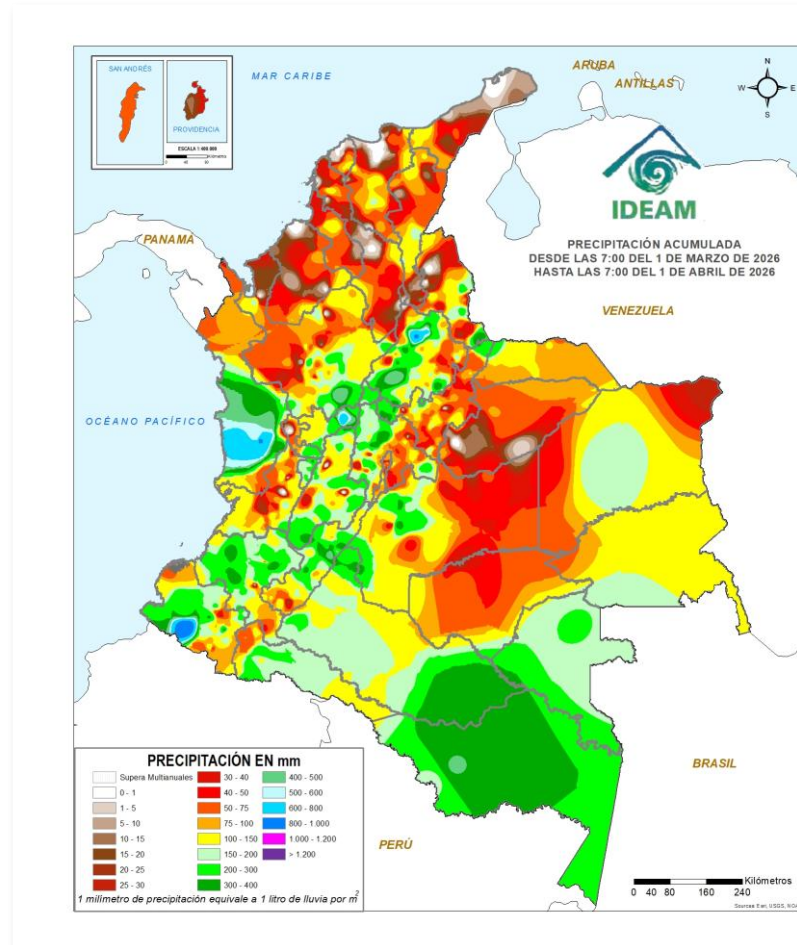
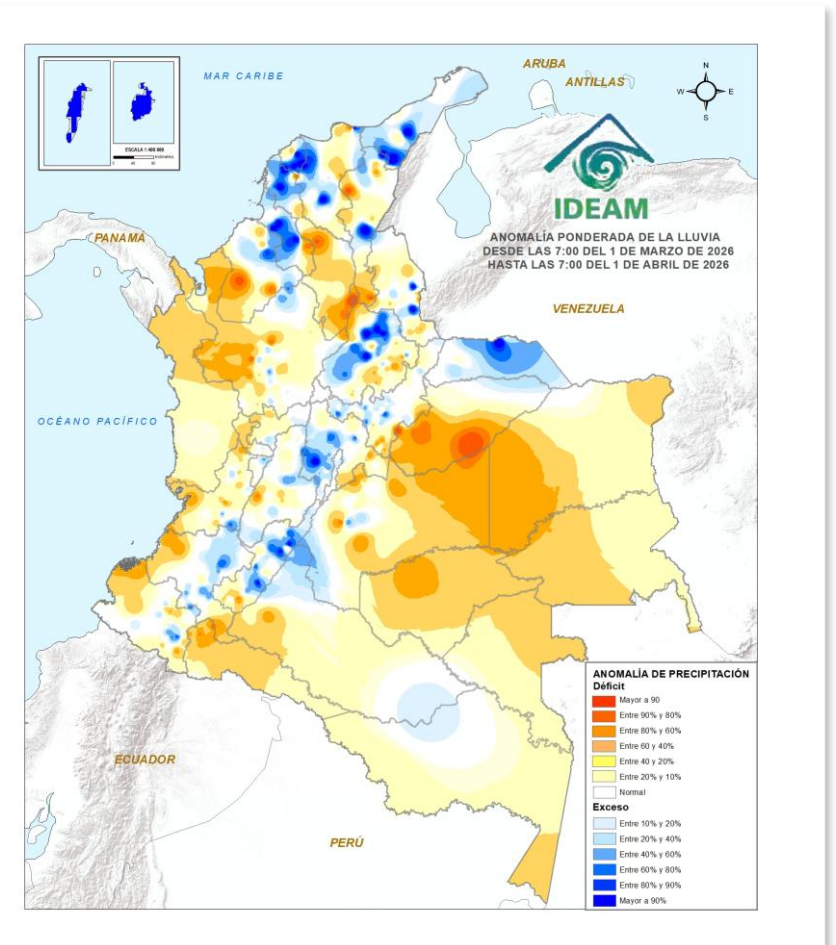


Figura 2. Anomalía ponderada de la precipitación  
Marzo 2026



Fuente: Grupo de profesionales de incendios y deslizamientos

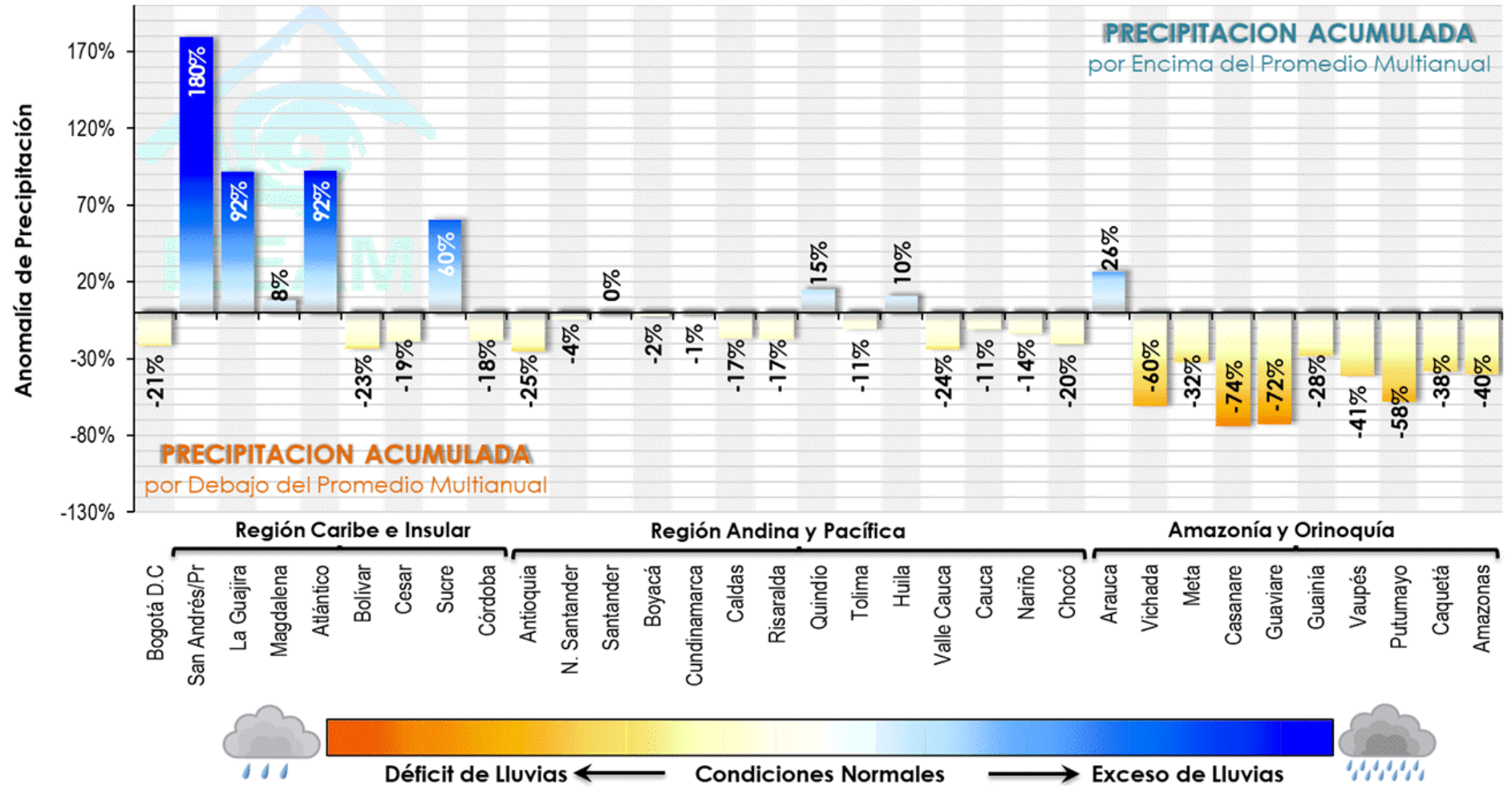
# ANOMALÍA DE PRECIPITACIÓN

El análisis de la anomalía de la precipitación acumulada por departamentos durante el periodo 1 al 31 de marzo (Figura 3) muestra que, a escala nacional, predominaron condiciones deficitarias, mientras que los excesos de precipitación se concentraron en pocos departamentos y de forma localizada.

La región Caribe e Insular presentó el mayor contraste espacial del país, con la coexistencia de excesos muy significativos y déficits moderados. Los mayores excesos de precipitación se registraron en San Andrés y Providencia (+180%), seguido por La Guajira (+92%), Atlántico (+92%) y Sucre (+60%), evidenciando acumulados muy por encima del promedio multianual. Magdalena (+8%) presentó condiciones cercanas a la normalidad. En contraste, se observaron déficits de precipitación en Bolívar (-23%), Cesar (-19%) y Córdoba (-18%), lo que resalta una marcada variabilidad intrarregional.

En la región Andina predominó un comportamiento deficitario generalizado, con excesos aislados y de baja magnitud. Sólo dos departamentos tuvieron excesos de precipitación, los cuales fueron Quindío (+15%) y Huila (+10%), mientras que Santander (0%) presentó condiciones cercanas a lo normal. El resto de la región registró anomalías negativas, destacándose Antioquia (-25%) y Bogotá D.C. (-21%) como los déficits más importantes. También se presentaron reducciones de precipitación en Caldas (-17%), Risaralda (-17%), Tolima (-11%), Norte de Santander (-4%), Boyacá (-2%) y Cundinamarca (-1%), confirmando un mes mayoritariamente seco en la región.

Figura 3. ANOMALÍA DE PRECIPITACIÓN ACUMULADA POR DEPARTAMENTOS | AL 31 DE MARZO DE 2026



Fuente: Grupo de datos Ideam - OSPA.

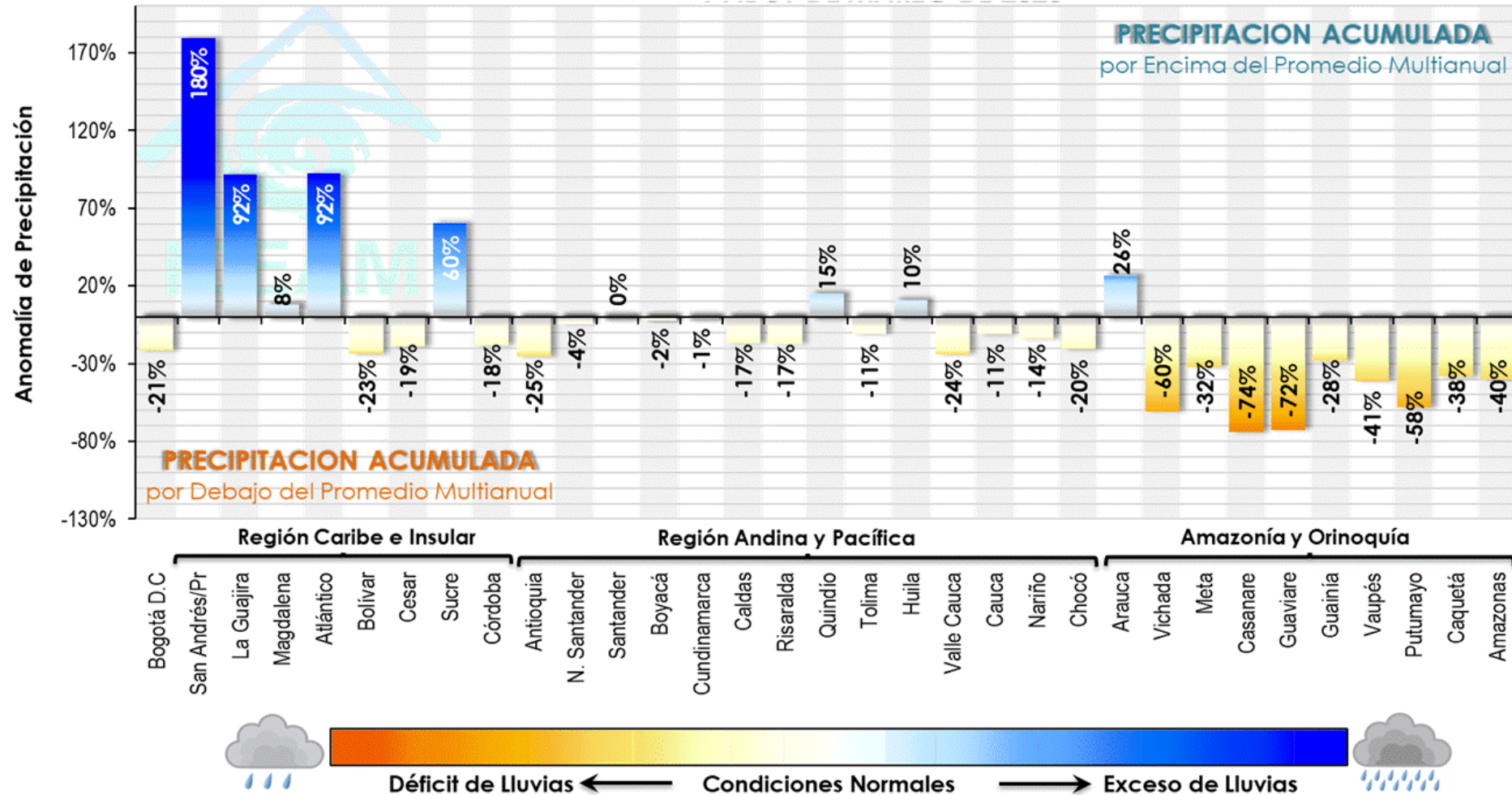
# ANOMALÍA DE PRECIPITACIÓN

La región Pacífica mostró condiciones deficitarias, con anomalías negativas en Valle del Cauca (-24%), Chocó (-20%), Nariño (-14%) y Cauca (-11%).

La Orinoquía registró déficit de precipitación, con anomalías negativas intensas y generalizadas. Se destacaron valores muy por debajo del promedio en Casanare (-74%) y Vichada (-60%), seguidos por Meta (-32%), evidenciando una reducción significativa y persistente de las lluvias durante el mes; sin embargo, se presentaron anomalías positivas de precipitación en Arauca (+26%).

En la Amazonía se registraron déficits de precipitación generalizados, confirmando un comportamiento seco en gran parte de la región. Los mayores déficits se presentaron en Guaviare (-72%) y Putumayo (-58%), seguidos por Vaupés (-38%), Amazonas (-40%), Caquetá (-38%) y Guainía (-28%), lo que refleja una disminución sustancial de los acumulados respecto al promedio multianual.

Figura 3. ANOMALÍA DE PRECIPITACIÓN ACUMULADA POR DEPARTAMENTOS | AL 31 DE MARZO DE 2026



Fuente: Grupo de datos Ideam - OSPA.

# ANOMALÍA DE PRECIPITACIÓN

Durante marzo, a pesar de que el comportamiento pluviométrico a escala nacional estuvo dominado por **déficits de precipitación**, se registraron eventos puntuales de lluvia intensa que llevaron a la **superación de máximos históricos** en varias estaciones del país (**Tabla I**), evidenciando una alta variabilidad temporal del régimen de lluvias.

Los excedentes más relevantes se presentaron en la región **Orinoquía**, particularmente en el departamento del Meta, donde estaciones como Fuente de Oro y Calime (El Dorado) superaron sus registros históricos en 37 mm y 27 mm, respectivamente, consolidándose como los eventos extremos más significativos del mes. En esta misma región, San Juan de Arama también registró una superación importante, confirmando la ocurrencia de lluvias intensas altamente localizadas.

En las regiones **Andina, Caribe y Pacífica** se observaron igualmente superaciones históricas, aunque con excedentes de menor magnitud, en estaciones de Huila, Santander, Cundinamarca, Bolívar, Cesar, Valle del Cauca y Nariño. Estos eventos reflejan episodios convectivos intensos y de corta duración que, si bien fueron suficientes para romper récords locales, no alteraron el patrón deficitario predominante en dichas regiones durante el mes.

**Tabla I. Precipitaciones máximas históricas superadas en el mes**

ESTACIÓN	DEPARTAMENTO	MUNICIPIO	Máxima del mes (mm)	Máxima Histórica (mm)	Igual o supera (mm)
SAN PABLO	BOLIVAR	María La Baja	81,0	74,5	6,5
LA TAGUA	MAGDALENA	Santa Marta	36,0	33,4	2,6
Sede IDEAM	MAGDALENA	Santa Marta	19,6	7,5	12,1
VILLA ROSA	CESAR	Valledupar	78,0	72,0	6,0
SUAITA	SANTANDER	Suaita	66,5	62,0	4,5
JAGUA LA	HUILA	Garzón	93,0	88,0	5,0
FUENTE DE ORO	META	Fuente De Oro	167	130	37
SAN JUAN DE ARAMA	META	San Juan De Arama	130	115	15
CALIME	META	El Dorado	199	172	27
ISUGU	VALLE DEL CAUCA	Roldanillo	84	76	8
TOTORO	CAUCA	Totoro	85	80	5
VERGEL EL	NARIÑO	La Llanada	112,5	111,9	0,6
VILLA INES	CUNDINAMARCA	Facatativá	45,7	40,2	5,5

**Fuente:** Grupo de datos Ideam - OSPA.

# ACUMULADO DE PRECIPITACIÓN DIARIA

La precipitación acumulada diaria (**Figura 4**) durante el mes de marzo evidenció la presencia de tres pulsos principales de lluvia, los cuales estructuraron el comportamiento intra-mensual de la precipitación a escala nacional.

El **primer pulso** se presentó durante la primera decena del mes, destacándose los días 8 y 10 de marzo, cuando los acumulados diarios alcanzaron valores cercanos a 5.376,9 mm y 6.285,6 mm, respectivamente.

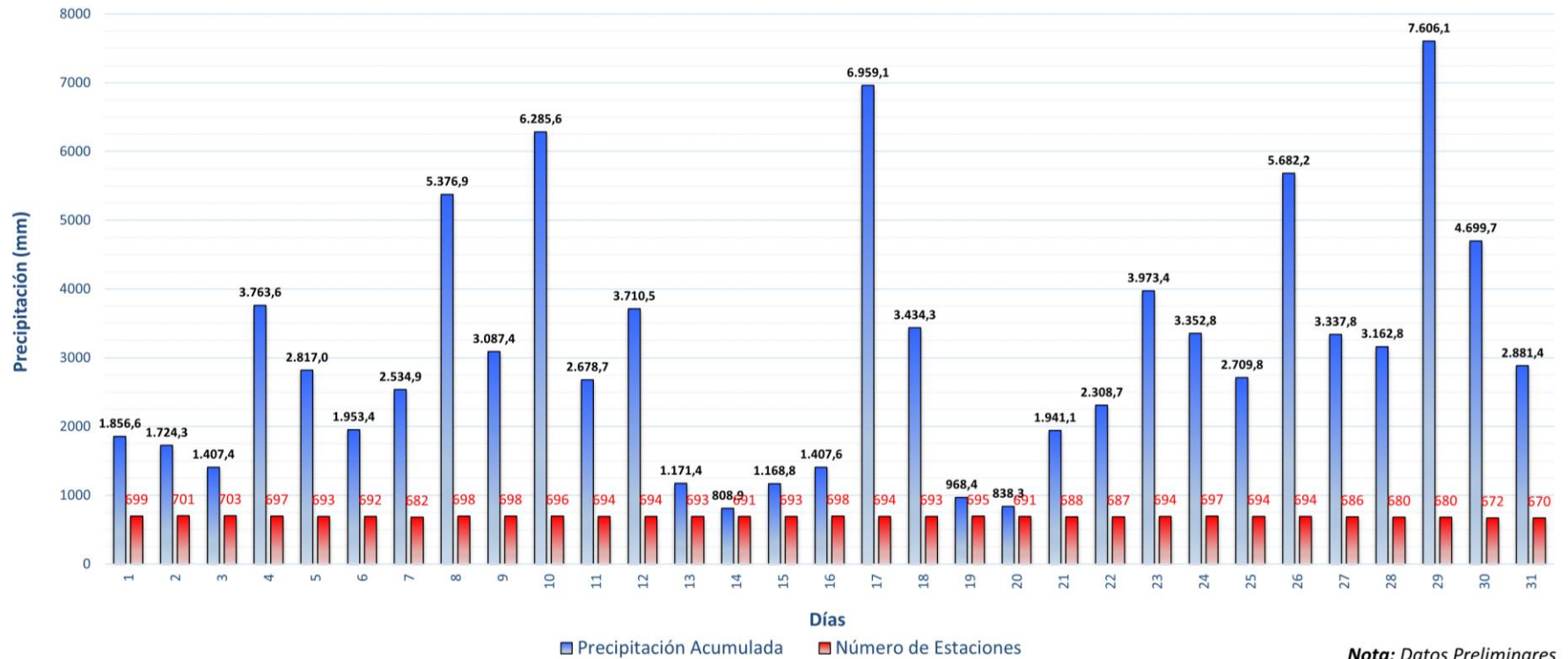
Posteriormente, el **segundo pulso** se concentró hacia la mitad del mes, alcanzando su máximo el día 17 de marzo, con un acumulado diario de 6.959,1 mm, constituyéndose en uno de los episodios de mayor precipitación del periodo y reflejando una reactivación marcada de los sistemas precipitantes a nivel nacional.

Finalmente, el **tercer pulso**, se registró durante la última semana de marzo, con una intensificación progresiva de las lluvias que alcanzó su máximo el día 29, cuando se observó el **mayor volumen diario del mes**, con **7.606,1 mm**.

En contraste, los valores más bajos de precipitación diaria se registraron durante la segunda semana del mes, particularmente el día 14, con un acumulado cercano a 808,9 mm, lo que indicó una disminución temporal de la actividad convectiva antes del segundo pulso lluvioso.

**Figura 4. PRECIPITACIÓN ACUMULADA DIARIA**

Marzo del 2026



*Nota: Datos Preliminares*

Fuente: Grupo de datos Ideam-OSPA.

# DISTRIBUCIÓN ESPACIAL DE LA PRECIPITACIÓN DIARIA

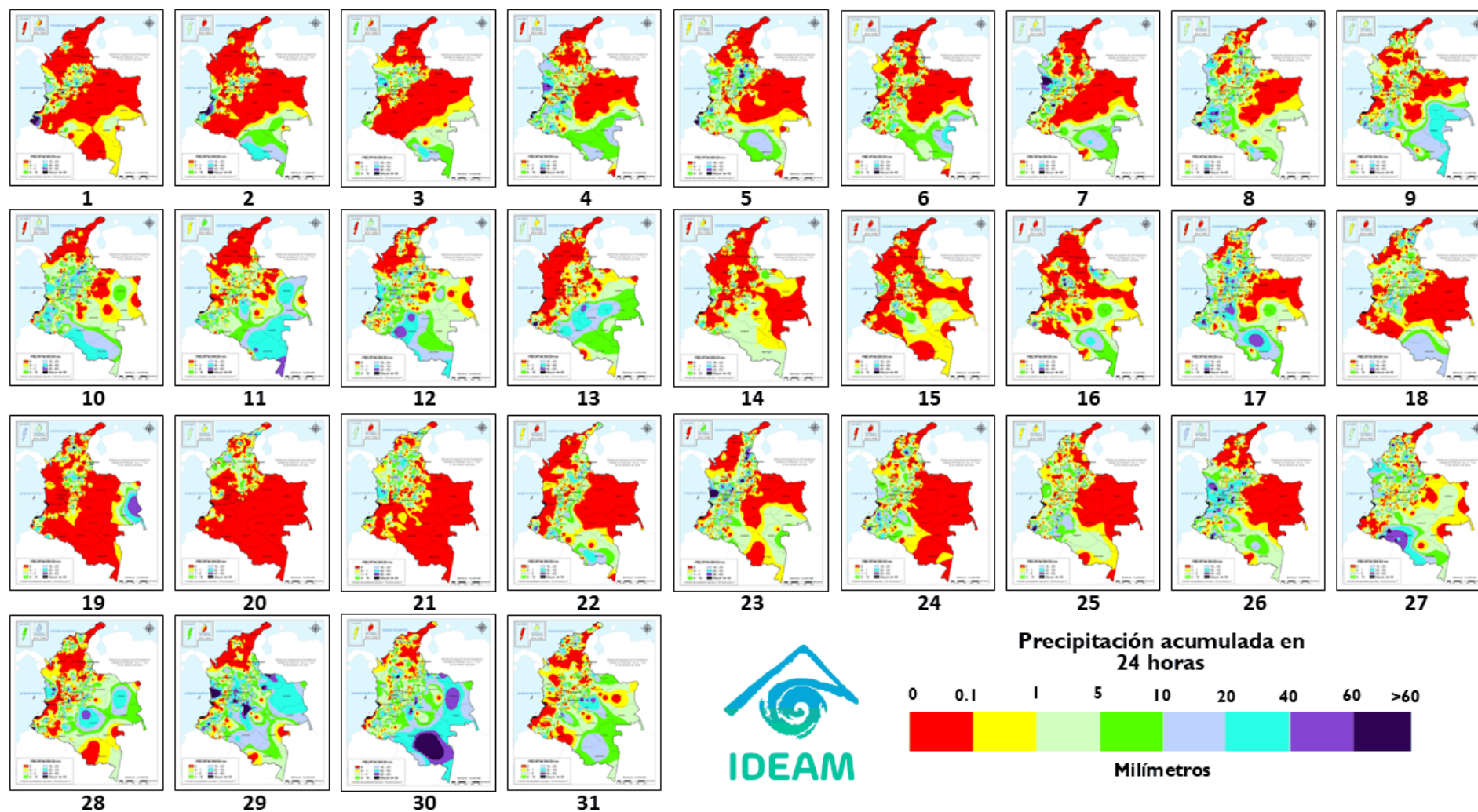
La distribución espacial de la precipitación diaria durante el mes de marzo (**Figura 5**) evidenció una alta variabilidad temporal y espacial, con alternancia de periodos secos y episodios de lluvia intensa, así como una marcada heterogeneidad en la cobertura y magnitud de los acumulados diarios sobre el territorio nacional.

Durante los **primeros días del mes**, se observaron acumulados diarios generalmente **bajos** y una distribución espacial limitada, predominando áreas con precipitación débil o ausente en gran parte del país. No obstante, a partir de la segunda semana, se evidenció una expansión progresiva de las áreas con lluvia, especialmente sobre sectores de las regiones Andina, Orinoquía, Amazónica y Pacífica.

Hacia la **mitad del mes**, particularmente entre los días 17 y 18 de marzo, se registraron **acumulados diarios elevados** y de amplia cobertura espacial. Posteriormente, en la tercera semana, se presentó una disminución relativa de la actividad lluviosa, reflejada en una reducción tanto de los acumulados diarios como de la extensión de las áreas precipitantes, con predominio de lluvias aisladas y de menor intensidad.

Finalmente, durante la **última semana** del mes, se observó un nuevo incremento significativo de la precipitación, con **eventos intensos y espacialmente más extendidos**, especialmente entre los días 29 y 30 de marzo. En este periodo se destacaron acumulados diarios elevados sobre amplios sectores, consolidando este episodio como uno de los más importantes del mes en términos de intensidad y cobertura.

Figura 5. Distribución espacial de la precipitación diaria - Marzo del 2026



**Nota:** Interpolación de la precipitación realizada con datos preliminares – Método IWD

**Fuente:** Grupo de datos OSPA - Ideam.

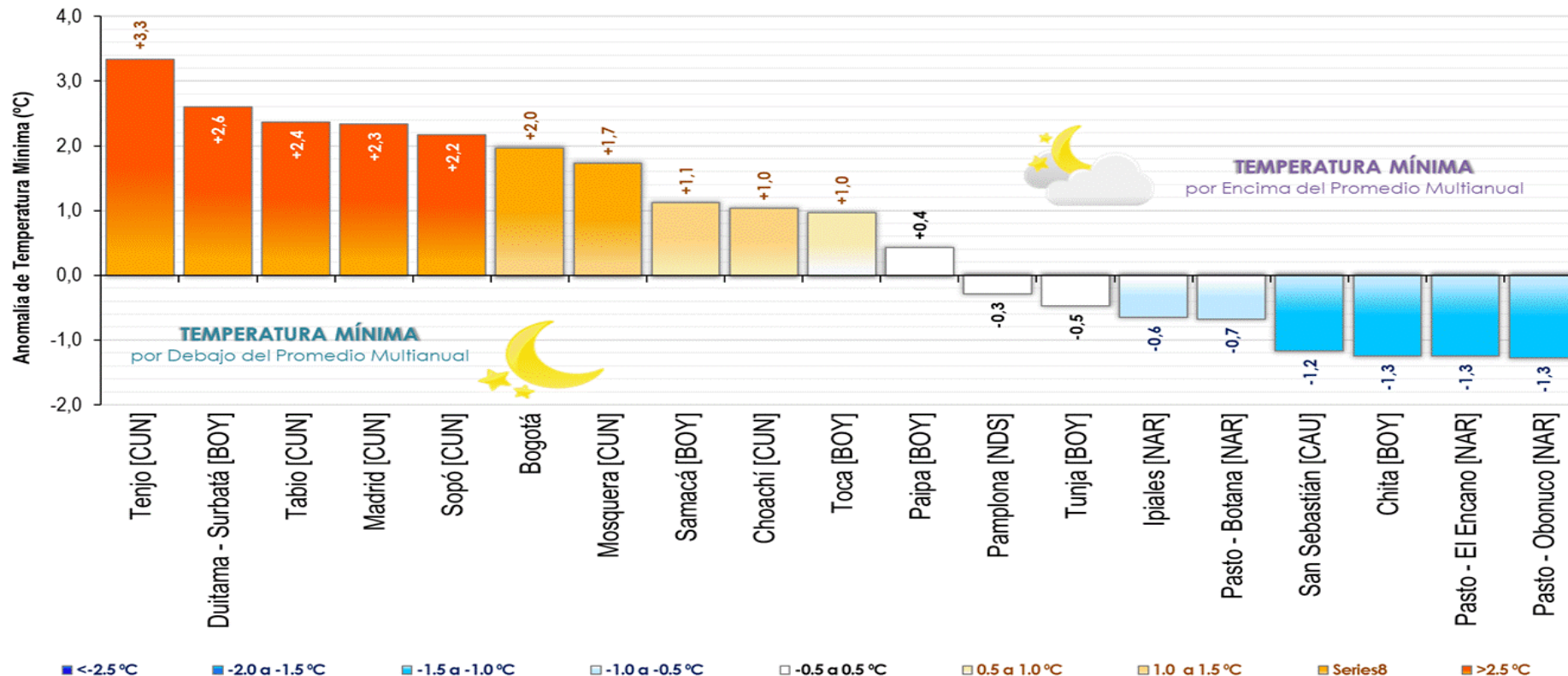
# ANOMALÍA DE TEMPERATURA MÍNIMA

Durante el periodo comprendido entre el 1 y el 31 de marzo, el análisis de la **anomalía de la temperatura mínima** en poblaciones susceptibles a heladas (**Figura 6**) muestra un comportamiento marcadamente contrastante, con predominio de anomalías positivas en sectores del centro de la región Andina, y anomalías negativas en zonas del sur y centro del país.

Las **anomalías positivas** más significativas se registraron en localidades del Altiplano Cundiboyacense, destacándose Tenjo (+3,3 °C), Duitama – Surbatá (+2,6 °C), Tabio (+2,4 °C), Madrid (+2,3 °C) y Sopó (+2,2 °C). Bogotá D. C. (+2,0 °C) y Mosquera (+1,7 °C) también presentaron temperaturas mínimas significativamente superiores al promedio multianual, lo que indica condiciones menos favorables para la ocurrencia de heladas en estas zonas durante el mes. En este mismo grupo se ubicaron Samacá (+1,1 °C), Choachí (+1,0 °C) y Toca (+1,0 °C), todos con anomalías cálidas de menor magnitud.

En contraste, hacia el centro y sur del territorio nacional, se observaron **anomalías negativas** de temperatura mínima, evidenciando condiciones más frías de lo normal. Las anomalías frías más intensas se registraron en Pasto – Obonuco (-1,3 °C), Pasto – El Encano (-1,3 °C), Chita (-1,3 °C) y San Sebastián (-1,2 °C), lo que sugiere una mayor probabilidad de condiciones favorables para heladas en estas áreas, aunque de carácter localizado.

**Figura 6. ANOMALÍA TEMPERATURA MÍNIMA EN POBLACIONES SUSCEPTIBLES A HELADAS 1 AL 31 DE MARZO DE 2026**



Fuente: Grupo de datos Ideam-OSPA.

**Tabla 2. Temperaturas mínimas históricas superadas en el mes**

ESTACIÓN	DEPARTAMENTO	MUNICIPIO	Temperatura mínima del mes (mm)	Temperatura mínima histórica (mm)	Igual o supera (mm)
APTO BENITO SALAS	HUILA	Neiva	18,2	18,6	-0,4
SAN JOSE DE FRAGUA	CAQUETA	San José Del Fragua	17,4	18,0	-0,6
STA LETICIA	CAUCA	Purace	7,2	8,0	-0,8
TUNEZ HDA	ANTIOQUIA	Fredonia	15,8	16,0	-0,2
STA ISABEL	TOLIMA	Santa Isabel	10,0	10,5	-0,5

Fuente: Grupo de datos Ideam-OSPA.

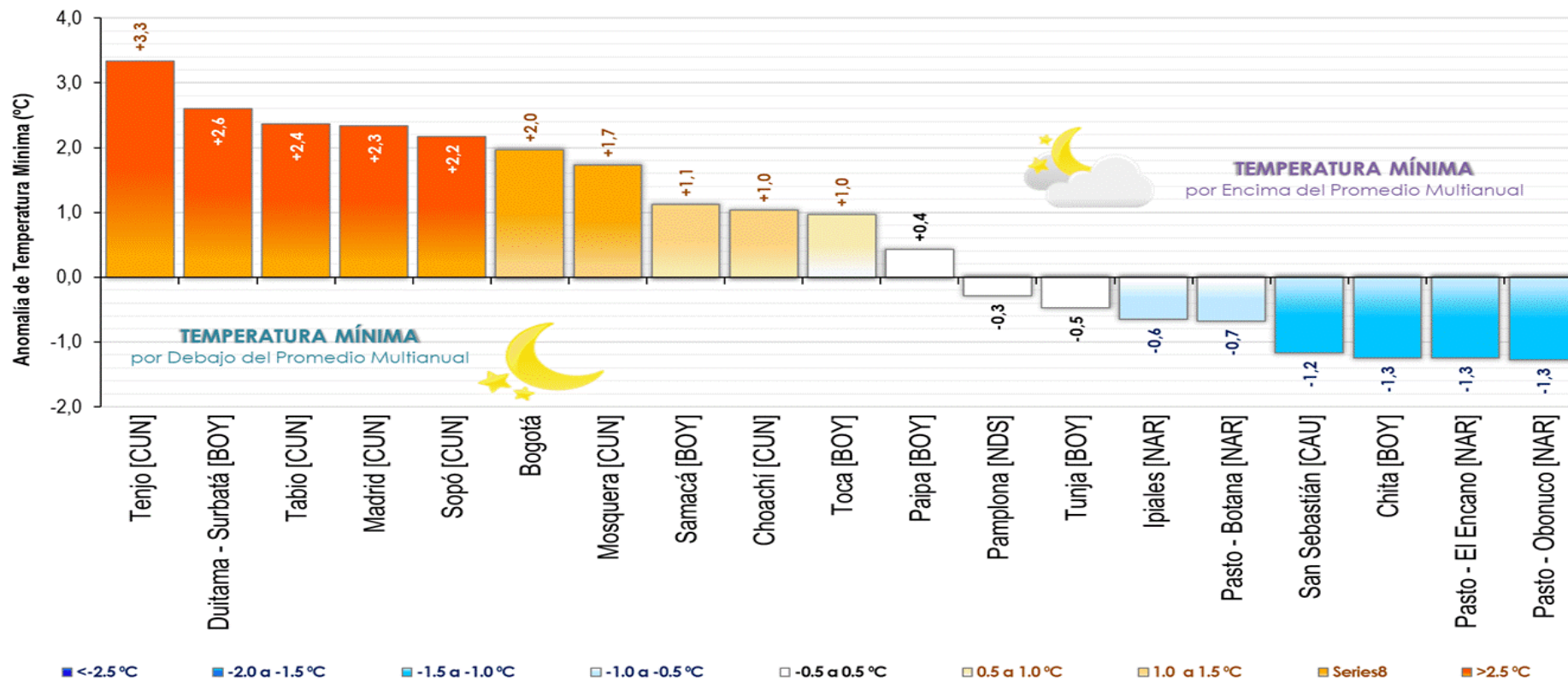
# ANOMALÍA DE TEMPERATURA MÍNIMA

Durante marzo se registraron **temperaturas mínimas** que superaron (por debajo) los **mínimos históricos** en varias estaciones del país (Tabla 2), evidenciando la ocurrencia de episodios fríos puntuales, a pesar de que, en promedio mensual, predominaron anomalías positivas de temperatura mínima.

Las mayores superaciones de **mínimos históricos** se presentaron en Santa Leticia (Puracé, Cauca), donde se registró una temperatura mínima mensual de 7,2 °C, valor 0,8 °C inferior al mínimo histórico previo, constituyéndose en el evento frío más significativo del mes. De igual forma, en San José del Fragua (Caquetá) se alcanzaron 17,4 °C, superando el récord histórico en -0,6 °C, y en Santa Isabel (Tolima) se registraron 10,0 °C, valor 0,5 °C inferior al histórico.

También se observaron eventos fríos relevantes, aunque de menor magnitud, como en el Aeropuerto Benito Salas (Neiva, Huila) con 18,2 °C (-0,4 °C) y en Túnez HDA (Fredonia, Antioquia) con 15,8 °C (-0,2 °C), confirmando que los descensos térmicos extremos fueron localizados y asociados a condiciones sinópticas específicas.

Figura 6. ANOMALÍA TEMPERATURA MÍNIMA EN POBLACIONES SUSCEPTIBLES A HELADAS 1 AL 31 DE MARZO DE 2026



Fuente: Grupo de datos Ideam-OSPA.

Tabla 2. Temperaturas mínimas históricas superadas en el mes

ESTACIÓN	DEPARTAMENTO	MUNICIPIO	Temperatura mínima del mes (mm)	Temperatura mínima histórica (mm)	Igual o supera (mm)
APTO BENITO SALAS	HUILA	Neiva	18,2	18,6	-0,4
SAN JOSE DE FRAGUA	CAQUETA	San José Del Fragua	17,4	18,0	-0,6
STA LETICIA	CAUCA	Purace	7,2	8,0	-0,8
TUNEZ HDA	ANTIOQUIA	Fredonia	15,8	16,0	-0,2
STA ISABEL	TOLIMA	Santa Isabel	10,0	10,5	-0,5

Fuente: Grupo de datos Ideam-OSPA.

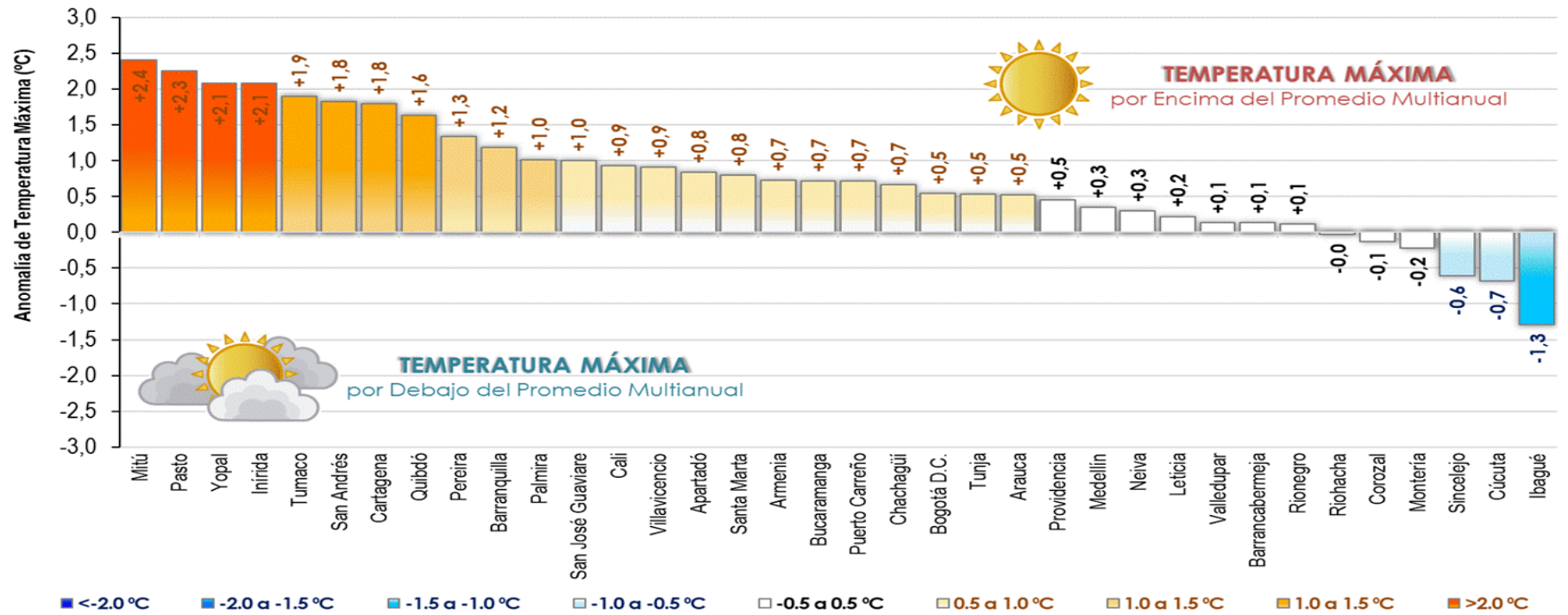
# ANOMALÍA DE TEMPERATURA MÁXIMA

Durante el periodo comprendido entre el 1 y el 31 de marzo, el análisis de la anomalía de la temperatura máxima en las principales ciudades de Colombia (**Figura 7**) muestra un predominio de **anomalías positivas**, indicando temperaturas máximas superiores al promedio multianual en gran parte del país, en coherencia con el carácter seco predominante durante el mes.

La **anomalía positiva** más significativa se registró en Mitú (+2,4 °C), constituyéndose como el valor más alto a nivel nacional. Le siguió Pasto (+2,3 °C), evidenciando un comportamiento térmico excepcional en el suroccidente del país. Otras anomalías cálidas relevantes se observaron en Yopal (+2,1 °C), Inirida (+2,1 °C), Tumaco (+1,9 °C), San Andrés (+1,8 °C) y Cartagena (+1,8 °C), reflejando condiciones significativamente más cálidas de lo normal.

En ciudades como Bogotá, Tunja, Medellín, entre otras, predominaron anomalías positivas de menor magnitud, generalmente entre +0,5 °C y +1,0 °C, lo que indica un incremento térmico importante respecto a la climatología. En contraste, algunas localidades registraron anomalías negativas, destacándose Ibagué (-1,3 °C), Cúcuta (-0,7 °C) y Sincelejo (-0,6 °C), evidenciando condiciones relativamente más frescas de lo normal.

**Figura 7. ANOMALÍA TEMPERATURA MÁXIMA EN LAS PRINCIPALES CIUDADES DE COLOMBIA 1 AL 31 DE MARZO DE 2026**



Fuente: Grupo de datos Ideam-OSPA.

**Tabla 2. Temperaturas máximas históricas superadas en el mes**

ESTACIÓN	DEPARTAMENTO	MUNICIPIO	Temperatura máxima del mes (mm)	Temperatura máxima histórica (mm)	Igual o supera (mm)
APTO SIMON BOLIVAR	MAGDALENA	Santa Marta	37,1	37,0	0,1
GAVIOTAS LAS	VICHADA	Cumaribo	38,8	38,0	0,8
CAMPOHERMOSO	BOYACA	Campohermoso	32,6	32,2	0,4
APTO YOPAL	CASANARE	Yopal	38,4	37,4	1,0
VALPARAISO	CAQUETA	Valparaíso	38,6	38,2	0,4
GUAICARAMO	META	Barranca De Upia	38,0	37,8	0,2
MOCOA ACUEDUCTO	PUTUMAYO	Mocoa	33,6	32,3	1,3
SINDAGUA	NARIÑO	Tangua	23,0	22,8	0,2

Fuente: Grupo de datos Ideam-OSPA.

# ANOMALÍA DE TEMPERATURA MÁXIMA

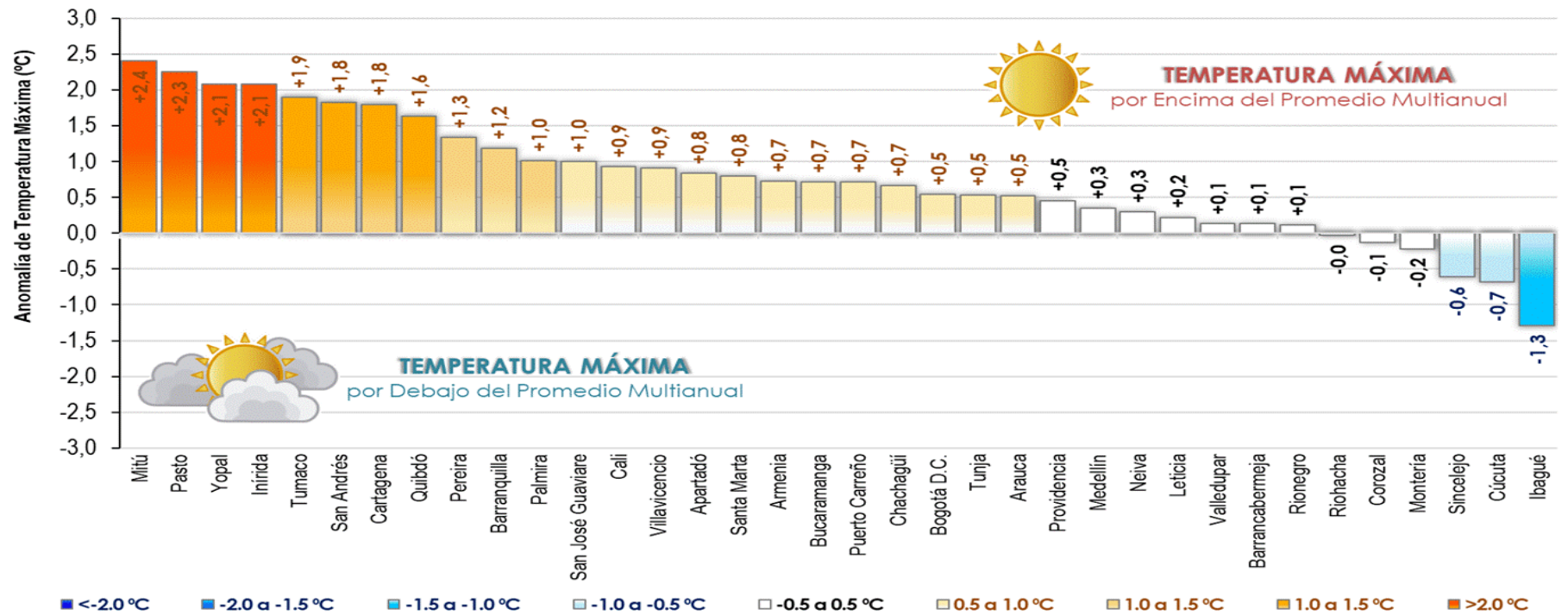
Durante marzo se registraron episodios puntuales de **temperatura máxima** que igualaron o superaron los valores históricos en varias estaciones del país (**Tabla 2**), confirmando la ocurrencia de eventos cálidos extremos localizados, en coherencia con el predominio de anomalías positivas de temperatura máxima observado en gran parte del territorio nacional.

Las **superaciones más significativas** se presentaron en las regiones Amazónica y Orinoquía, destacándose la estación Mocoa – Acueducto (Putumayo), donde se alcanzó una temperatura máxima de 33,6 °C, superando el máximo histórico en 1,3 °C. Asimismo, en la Orinoquía, la estación Aeropuerto de Yopal (Casanare) registró 38,4 °C (+1,0 °C), mientras que Gaviotas Las (Cumaribo, Vichada) alcanzó 38,8 °C, superando el registro histórico en 0,8 °C.

También se presentaron superaciones históricas en Campohermoso (Boyacá) con 32,6 °C (+0,4 °C) y en Valparaíso (Caquetá) con 38,6 °C (+0,4 °C), evidenciando eventos cálidos relevantes aunque de menor magnitud. En la región Caribe, se destacó la estación Aeropuerto Simón Bolívar (Santa Marta, Magdalena) con 37,1 °C, superando el máximo histórico en 0,1 °C.

Finalmente, en el suroccidente del país, la estación Síndagua (Tangua, Nariño) registró una temperatura máxima de 23,0 °C, superando su valor histórico en 0,2 °C, confirmando que los eventos cálidos extremos también alcanzaron zonas tradicionalmente más frías, aunque de forma puntual.

**Figura 7. ANOMALÍA TEMPERATURA MÁXIMA EN LAS PRINCIPALES CIUDADES DE COLOMBIA 1 AL 31 DE MARZO DE 2026**



Fuente: Grupo de datos Ideam-OSPA.

**Tabla 2. Temperaturas máximas históricas superadas en el mes**

ESTACIÓN	DEPARTAMENTO	MUNICIPIO	Temperatura máxima del mes (mm)	Temperatura máxima histórica (mm)	Igual o supera (mm)
APTO SIMON BOLIVAR	MAGDALENA	Santa Marta	37,1	37,0	0,1
GAVIOTAS LAS	VICHADA	Cumaribo	38,8	38,0	0,8
CAMPOHERMOSO	BOYACA	Campohermoso	32,6	32,2	0,4
APTO YOPAL	CASANARE	Yopal	38,4	37,4	1,0
VALPARAISO	CAQUETA	Valparaíso	38,6	38,2	0,4
GUAICARAMO	META	Barranca De Upia	38,0	37,8	0,2
MOCOA ACUEDUCTO	PUTUMAYO	Mocoa	33,6	32,3	1,3
SINDAGUA	NARIÑO	Tangua	23,0	22,8	0,2

Fuente: Grupo de datos Ideam-OSPA.

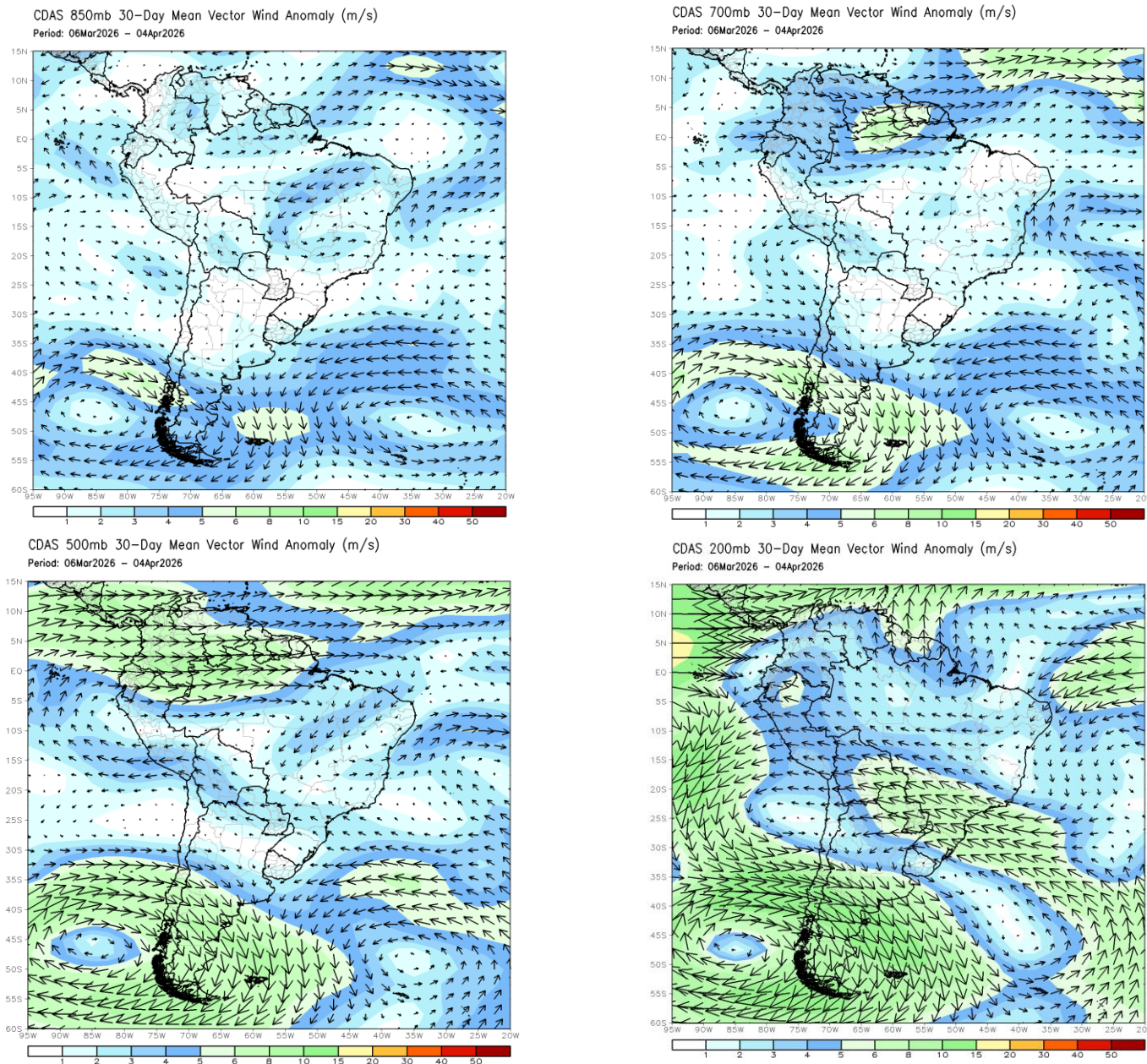
# ANOMALÍA DEL VIENTO

Durante el periodo analizado, las anomalías del viento en distintos niveles de la atmósfera jugaron un papel clave en la distribución espacial de la precipitación, favoreciendo el desarrollo de sistemas convectivos en las zonas con anomalías positivas de lluvia y, por el contrario, contribuyendo a condiciones deficitarias en aquellas regiones donde el patrón de circulación promovió el barrido y la dispersión de la humedad (**Figura 8**).

**Nivele bajo (850 hPa):** Se observaron anomalías de viento del noreste sobre gran parte del centro, oriente y sur del país, con velocidades anómalas más intensas en la Orinoquía y el norte de la Amazonía, favoreciendo el barrido de humedad y limitando el desarrollo convectivo, en coherencia con los déficits de precipitación registrados en estas regiones. En contraste, sobre el Caribe predominaron vientos anómalos del oeste, mientras que en el centro y sur del Pacífico se presentaron anomalías del noroeste, patrones que favorecieron un mayor aporte de humedad hacia el continente.

**Niveles medio-bajo (700 hPa):** En este nivel, prevalecieron anomalías significativas de viento del oeste y noroeste en gran parte del territorio nacional, con una intensificación hacia el centro-oriente del país. Este patrón favoreció la organización de los sistemas convectivos, particularmente en las regiones Caribe y Andina, donde se observaron anomalías positivas de precipitación. En el norte del país, las velocidades anómalas más débiles sugirieron una menor contribución dinámica desde este nivel.

**Figura 8. Anomalía del viento vectorial (m/s) promedio de 30 días para diferentes niveles**



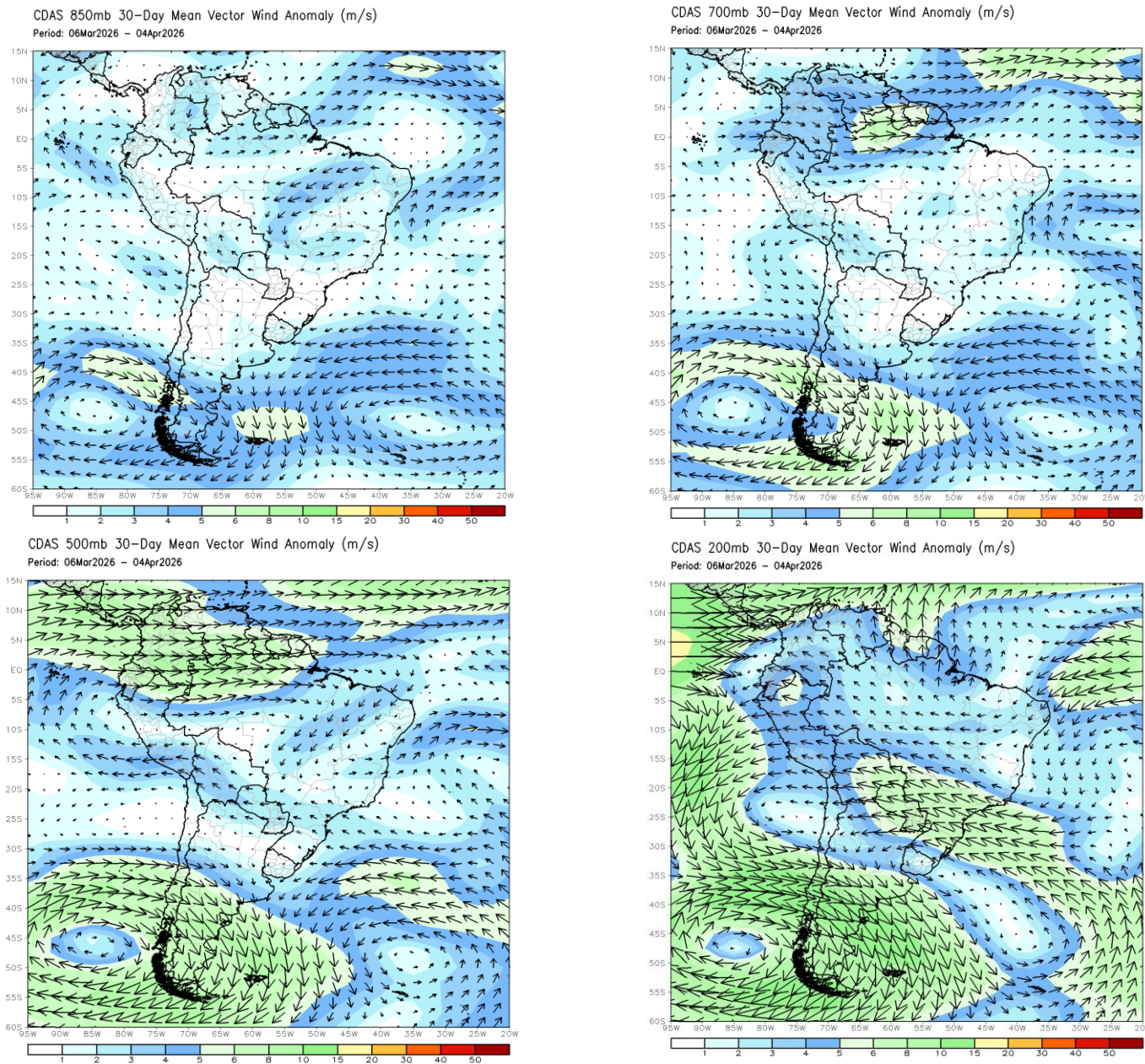
**Fuente:** Climate Prediction Center, NOAA (2026). CDAS-30 Day Mean Vector Wind Anomaly (m/s).  
Disponible en: [https://www.cpc.ncep.noaa.gov/products/international/cdas/cdas\\_30day\\_sam\\_850wind\\_anom.gif](https://www.cpc.ncep.noaa.gov/products/international/cdas/cdas_30day_sam_850wind_anom.gif).

# ANOMALÍA DEL VIENTO

**Media tropósfera (500 hPa):** Dominaron vientos anómalos zonales del oeste, con velocidades moderadas a importantes y amplia cobertura espacial, condición que resultó favorable para la ventilación y profundización de la convección, sin generar una cizalladura excesiva. Este comportamiento apoyó la persistencia de eventos de lluvia en las zonas con excesos pluviométricos.

**Nivel alto (200 hPa):** Se observó un predominio de anomalías del viento del suroeste, favoreciendo la divergencia y evacuación de masa en altura sobre sectores del sur, centro y oriente del país, en correspondencia con las áreas de mayor actividad convectiva. En el Caribe colombiano, las velocidades anómalas fueron particularmente significativas, asociadas a la configuración de una semidorsal con eje entre el norte de la región Andina y el sur de la región Caribe, la cual moduló la estabilidad atmosférica durante el periodo analizado.

Figura 8. Anomalía del viento vectorial (m/s) promedio de 30 días para diferentes niveles



Fuente: Climate Prediction Center, NOAA (2026). CDAS-30 Day Mean Vector Wind Anomaly (m/s).  
Disponible en: [https://www.cpc.ncep.noaa.gov/products/international/cdas/cdas\\_30day\\_sam\\_850wind\\_anom.gif](https://www.cpc.ncep.noaa.gov/products/international/cdas/cdas_30day_sam_850wind_anom.gif).

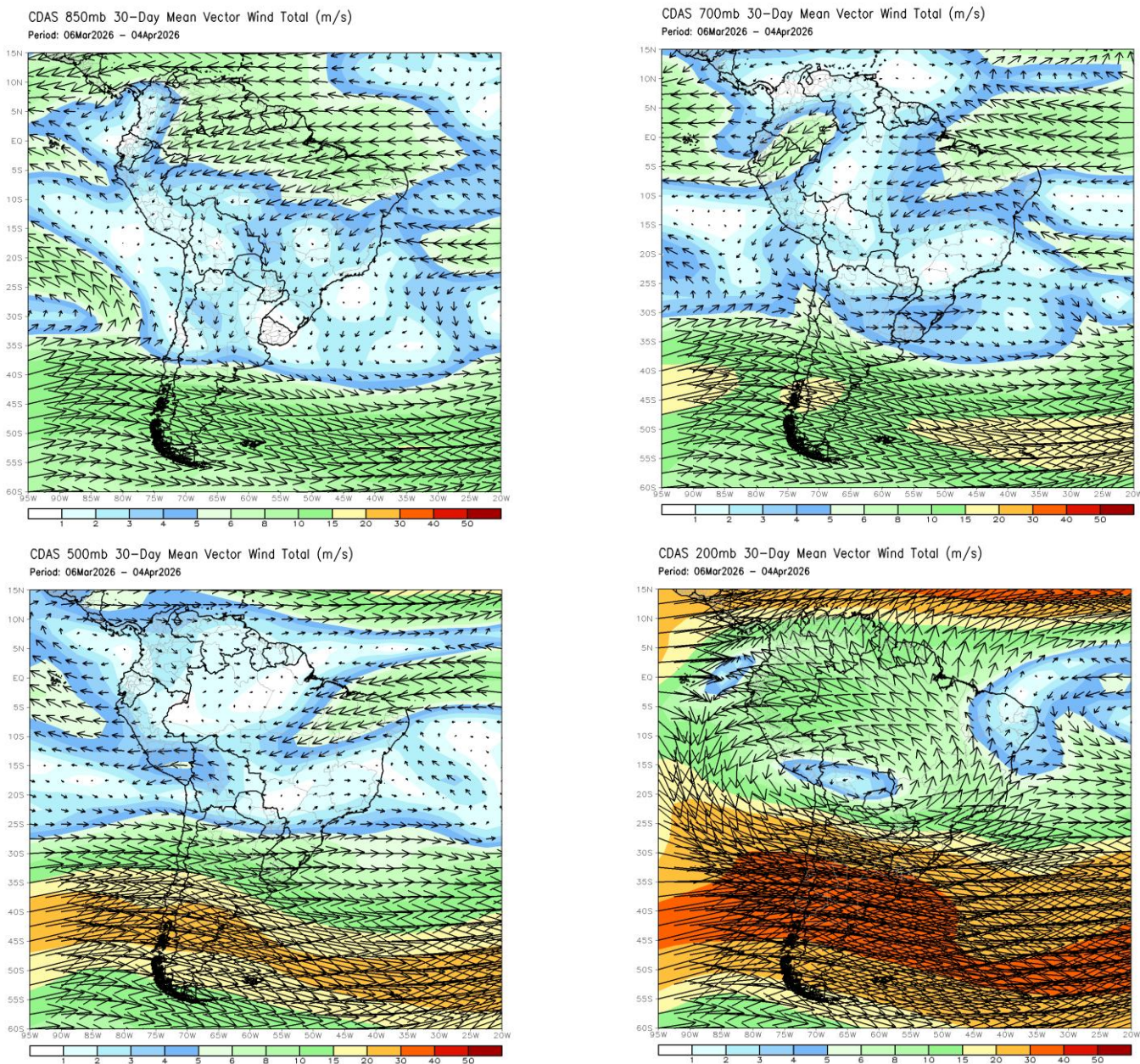
# COMPORTAMIENTO MENSUAL DEL VIENTO

El análisis del viento vectorial total promedio de 30 días permite identificar la estructura dominante de la circulación atmosférica durante el periodo analizado, así como los mecanismos dinámicos que favorecieron, o limitaron, el desarrollo de sistemas convectivos en el territorio colombiano. (Figura 9).

**Nivel Bajo (850 hPa):** Predominaron vientos moderados del noreste sobre la Orinoquía y la Amazonía, los cuales favorecieron un barrido eficiente de la humedad, limitando la convergencia local y contribuyendo a las condiciones deficitarias de precipitación en estas regiones. En el Caribe, se observaron velocidades significativas del viento, configurando jets de bajo nivel que promovieron igualmente el transporte rápido y la dispersión de la humedad sobre el mar Caribe, reduciendo su disponibilidad para procesos convectivos continentales. Por el contrario, en sectores del centro y occidente del país, particularmente en zonas de la región Andina y Pacífica, se registraron vientos débiles del noreste y este, condición más favorable para la convergencia en superficie y el desarrollo de sistemas convectivos, en concordancia con las anomalías positivas de precipitación observadas en estas áreas.

**Nivel Medio-Bajo (700 hPa):** En este nivel, predominaron vientos moderados del noreste, que continuaron favoreciendo el barrido de humedad en amplios sectores del país. En el resto del territorio, se observaron vientos débiles, lo que sugiere una contribución dinámica desde niveles medios, apoyando la organización de la convección profunda.

Figura 9. Viento vectorial total (m/s) promedio de 30 días para diferentes niveles



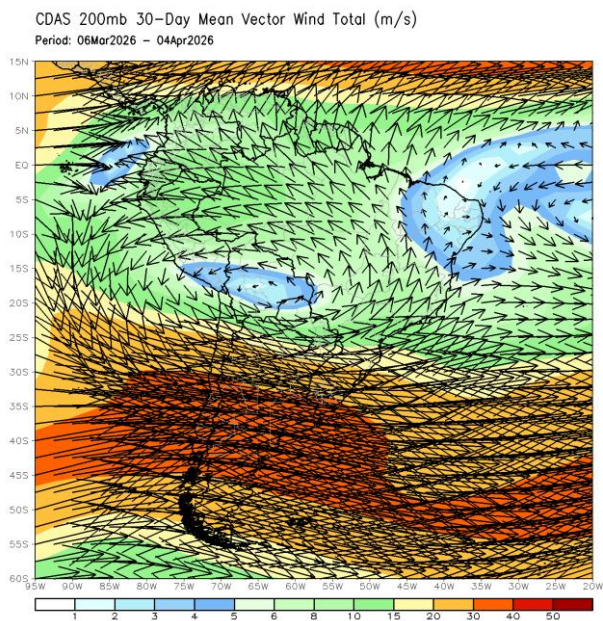
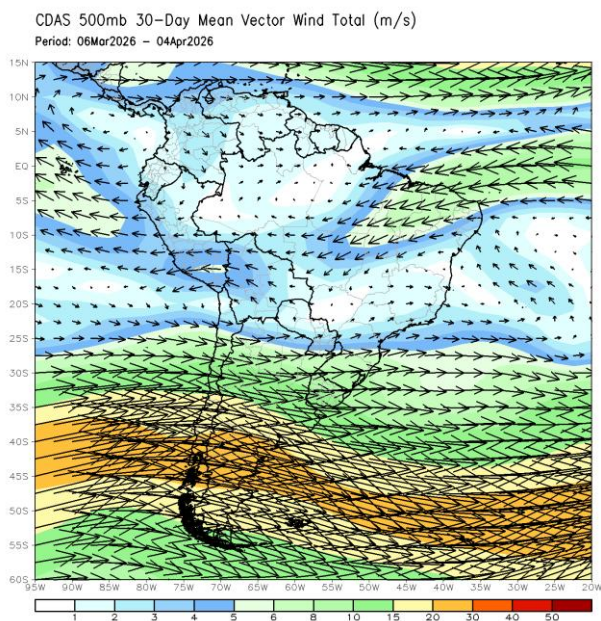
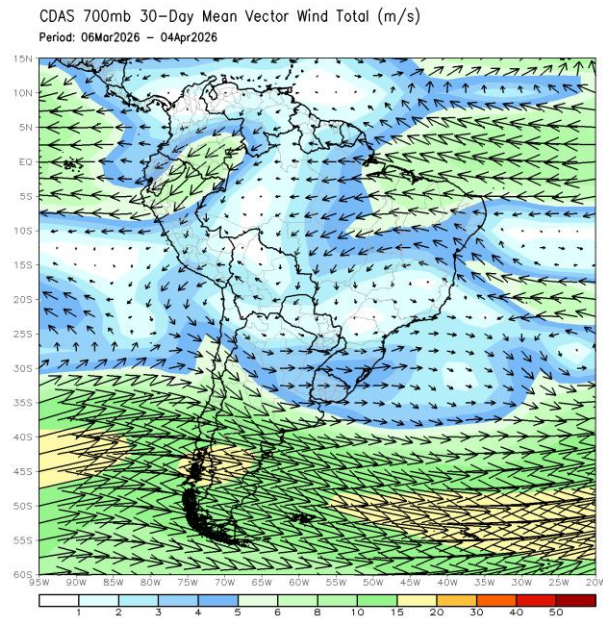
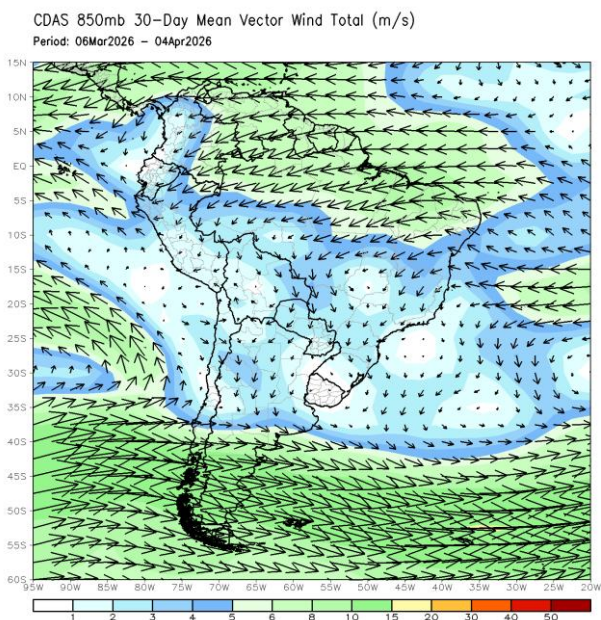
Fuente: Climate Prediction Center, NOAA (2026). CDAS- 30 Day Mean Vector Wind Total (m/s). Disponible en: [https://www.cpc.ncep.noaa.gov/products/international/cdas/cdas\\_30day\\_sam\\_850wind\\_obs.gif](https://www.cpc.ncep.noaa.gov/products/international/cdas/cdas_30day_sam_850wind_obs.gif)

# COMPORTAMIENTO MENSUAL DEL VIENTO

**Nivel Medio (500 hPa):** Los vientos dominantes del noroeste y oeste presentaron velocidades significativas, con los máximos concentrados en el norte del país, donde el flujo mostró un carácter marcadamente zonal. Este patrón favoreció la ventilación de los sistemas convectivos, especialmente en las zonas donde existió un aporte adecuado de humedad desde niveles bajos.

**Nivel Alto (200 hPa):** Se evidenció la advección de humedad desde la Amazonía brasileña, asociada a la Alta de Bolivia, hacia el territorio colombiano. Esta configuración dio lugar al desarrollo de una dorsal en altura, con vientos difluentes del sureste sobre el país y un eje localizado entre el norte de la región Andina y el sur de la región Caribe, favoreciendo la divergencia en altura y el mantenimiento de la convección profunda. Adicionalmente, se observaron vientos fuertes en el norte del Caribe, asociados a la presencia de un chorro en niveles altos, reforzando la dinámica atmosférica regional.

**Figura 9. Viento vectorial total (m/s) promedio de 30 días para diferentes niveles**



Fuente: Climate Prediction Center, NOAA (2026). CDAS- 30 Day Mean Vector Wind Total (m/s). Disponible en: [https://www.cpc.ncep.noaa.gov/products/international/cdas/cdas\\_30day\\_sam\\_850wind\\_obs.gif](https://www.cpc.ncep.noaa.gov/products/international/cdas/cdas_30day_sam_850wind_obs.gif)

# ZONA DE CONVERGENCIA INTERTROPICAL (ZCIT)

El análisis de las Cartas de Superficie del NHC (**Figura 10**) para marzo evidencia que el comportamiento atmosférico en Colombia estuvo dominado por la interacción entre sistemas tropicales y extratropicales, los cuales favorecieron una transición hacia condiciones de marcada estabilidad e inestabilidad atmosférica en varias regiones del país.

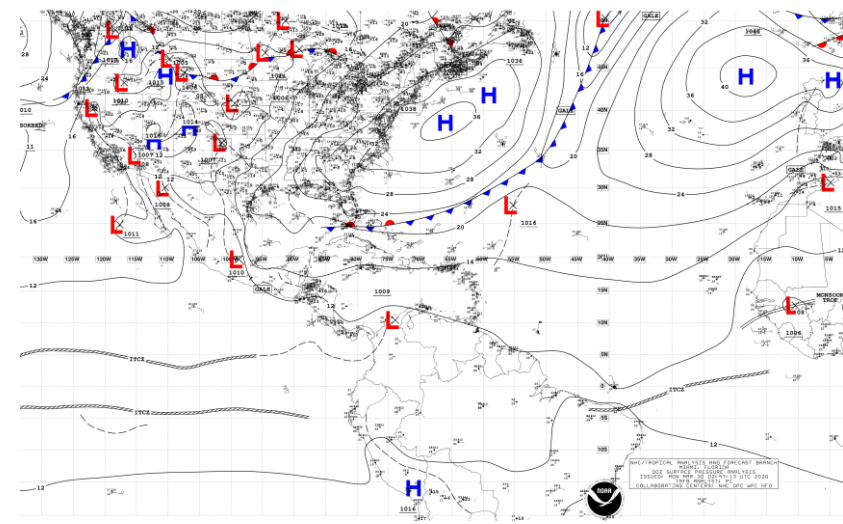
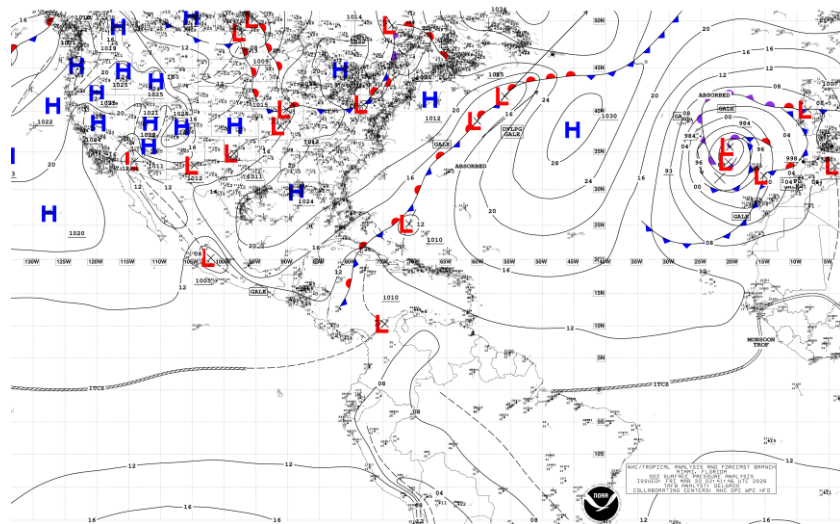
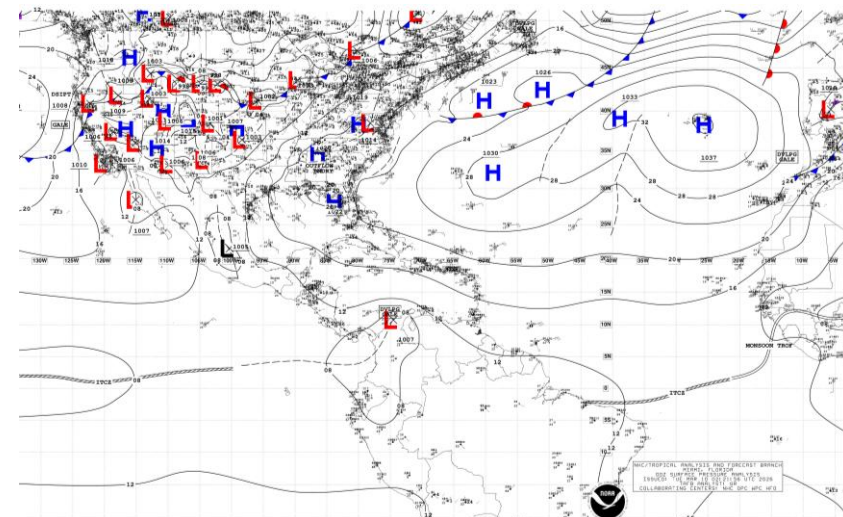
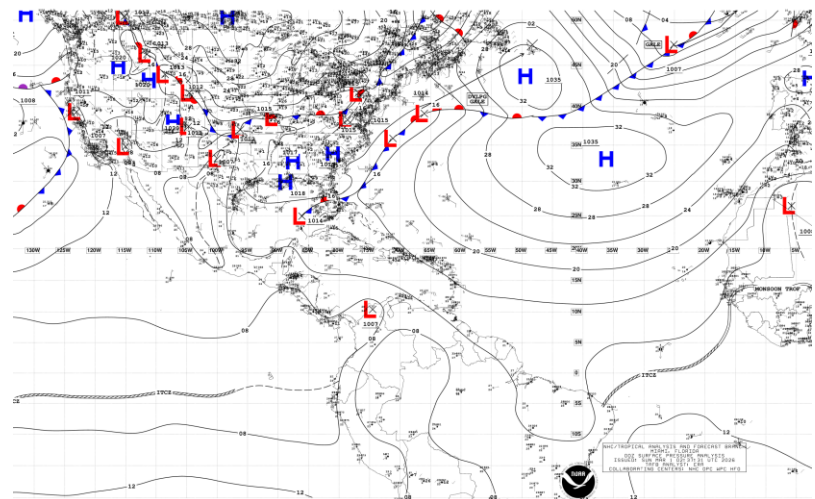
La **vaguada monzónica** se mantuvo activa con oscilaciones latitudinales entre los 5°N a los 9°N, presentando incursiones frecuentes desde el Pacífico hacia el continente y, en algunos periodos, pero predominante en el sector central. De forma complementaria, la **Zona de Convergencia Intertropical (ZCIT)** en el Pacífico, mostró configuraciones de doble ramal, lo que potenció la actividad convectiva en algunas ocasiones, especialmente en las regiones Pacífica y Andina; mientras que, en el Atlántico permaneció persistente entre el ecuador y los 5°S, favoreciendo el transporte meridional de humedad hacia la Amazonía.

El cinturón de **altas presiones del Atlántico**, incluida la Alta de las Azores, mostró extensiones recurrentes hacia el mar Caribe, generando gradientes de presión significativos en interacción con la baja del Darién. Esta configuración impulsó jets de bajo nivel del este, que si bien favorecieron episodios de barrido de humedad.

Adicionalmente, se evidenció la influencia de **sistemas frontales** que descendieron desde latitudes medias hacia el Caribe occidental, particularmente visibles en los días 1 y 20, los cuales, junto con vaguadas prefrontales y líneas de cizalladura, actuaron como disparadores de líneas de inestabilidad sobre el norte del territorio colombiano, en coherencia con los excesos de precipitación registrados en la región Caribe.

Finalmente, se identificaron periodos de influencia de la **Zona de Convergencia del Atlántico Sur (ZCAS)**, que apoyaron la advección persistente de humedad desde el norte de Brasil, consolidando focos de precipitación en el sur y oriente del país.

**Figura 10. Cartas de superficie del NHC de las 00 UTC para los días 1, 10, 20 y 30 del mes**



**Fuente: National Hurricane Center, NOAA (2026). Análisis de superficie.**

Disponible en: [https://ftp.nhc.ncep.noaa.gov/tafb/surface\\_analysis/](https://ftp.nhc.ncep.noaa.gov/tafb/surface_analysis/)

# ANOMALÍA DE LA VELOCIDAD POTENCIAL (MJO)

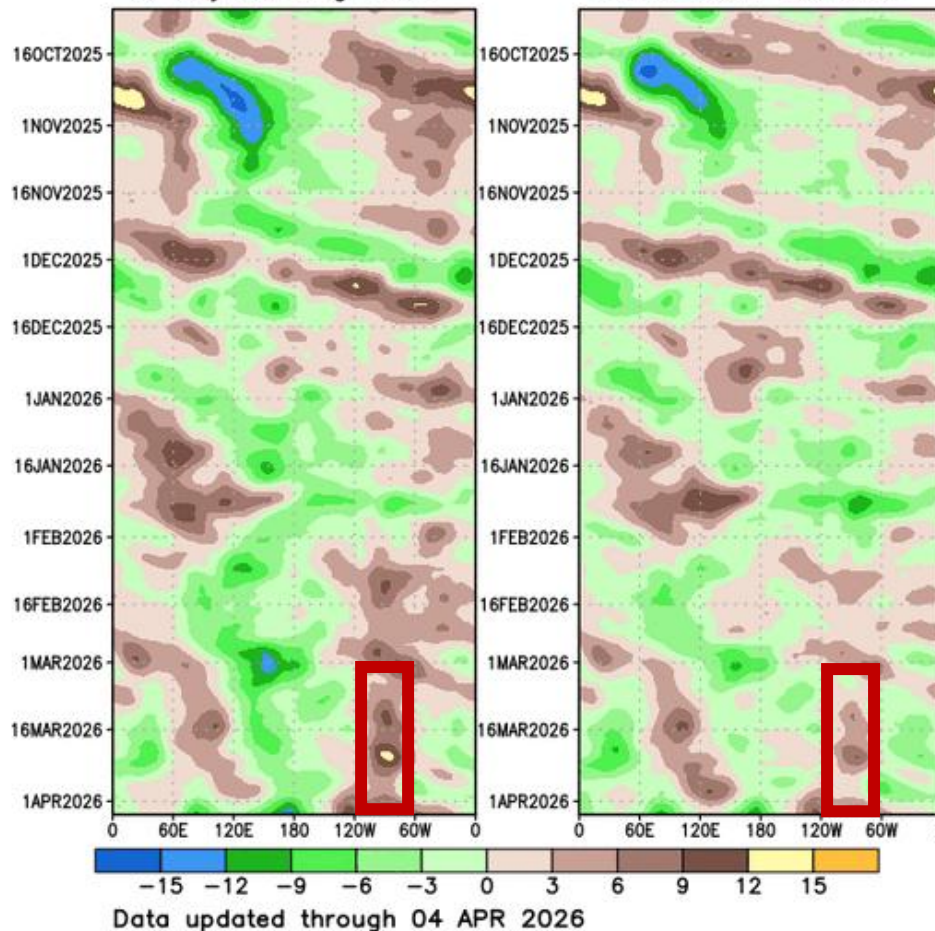
El análisis de la onda intraestacional (MJO) y de la dinámica de ondas atmosféricas durante marzo (Figuras 11 y 12) permite contextualizar un mes caracterizado por déficits de precipitación generalizados, con excesos pluviométricos más localizados, los cuales respondieron principalmente a forzamientos dinámicos regionales y no a la señal dominante de la MJO.

La Figura 11, correspondiente a la anomalía del potencial de velocidad en 200 hPa, muestra que sobre el sector que influye directamente a Colombia (longitudes 60°W a 120°W) predominó una fase subsidente de la MJO, evidenciada por anomalías positivas (tonos marrones). Esta configuración favoreció un ambiente de subsidencia a gran escala, coherente con la amplia extensión de déficits de precipitación observados durante el mes. Bajo este régimen, la convección profunda estuvo en general inhibida, salvo en periodos puntuales donde intervinieron otros mecanismos dinámicos. No obstante, se resalta que la MJO presentó una **fase convectiva** coincidente con el **día más lluvioso del mes**, lo que contribuyó de manera puntual a la intensificación de la precipitación.

Por su parte, la Figura 12 muestra que, a pesar del entorno subsidente dominante, la columna atmosférica sobre Colombia presentó ligeras anomalías locales positivas de agua total precipitable (PWAT). Este exceso de humedad actuó como un factor condicionante, permitiendo que, en presencia de forzamientos dinámicos adicionales, se desarrollaran eventos convectivos localizados que explican los excesos puntuales de precipitación, en contraste con el comportamiento deficitario predominante a escala nacional.

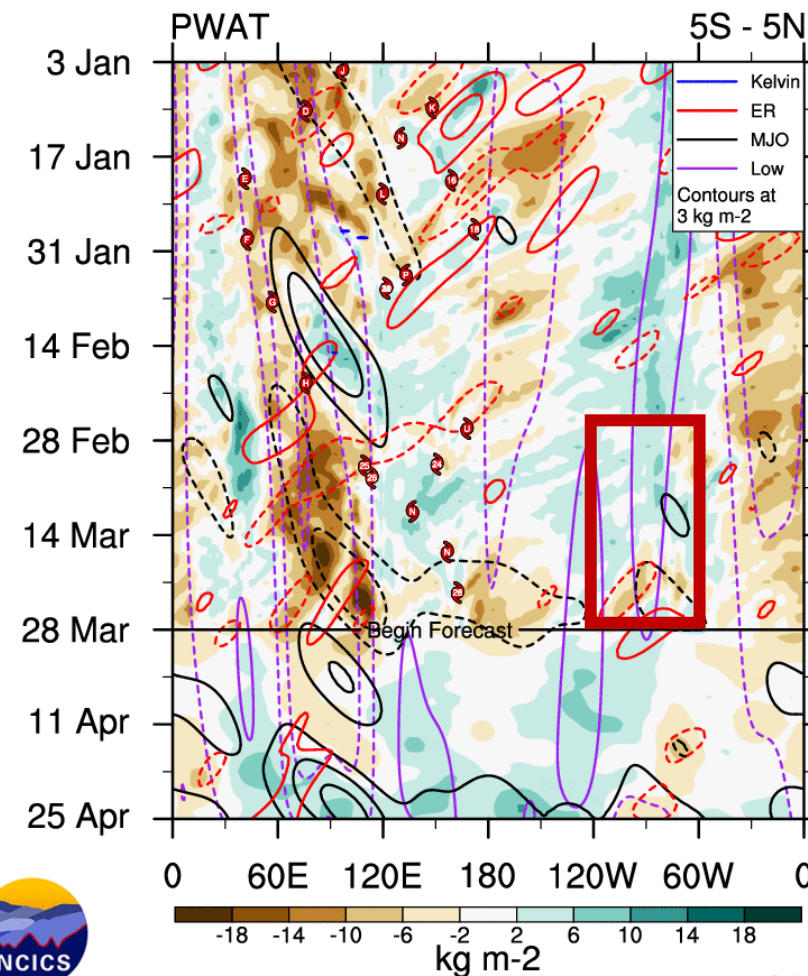
Adicionalmente, la presencia recurrente de una **Onda de Baja Frecuencia (LOW)** y el tránsito de **Ondas Ecuatoriales de Rossby** (finalizando el mes) proporcionaron un soporte de inestabilidad de fondo, favoreciendo la persistencia de lluvias en regiones específicas, sin modificar el patrón general deficitario del mes.

Figura 11. Anomalia del potencial de velocidad a 200 hPa  
200-hPa Velocity Potential Anomaly: 5N-5S  
5-day Running Mean      Period-Mean Removed



Fuente: Climate Prediction Center, NOAA (2026). Anomalia del potencial de velocidad a 200 hPa. Disponible en: [https://www.cpc.ncep.noaa.gov/products/intraseasonal/vpot\\_tlon.shtml](https://www.cpc.ncep.noaa.gov/products/intraseasonal/vpot_tlon.shtml).

Figura 12. Anomalías de agua total precipitable y actividad de ondas atmosféricas del NCICS.



ncics.org/mjo

Sun 2026-03-29 1008 UTC

Carl Schreck  
carl\_schreck@ncsu.edu

Fuente: North Carolina Institute for Climate Studies (2026). Archivo de Anomalías de Agua Precipitable y Actividad de Ondas Atmosféricas). Disponible en: <https://ncics.org/pub/mjo/archive/>.

## VISITA NUESTRAS REDES SOCIALES



InstitutoIDEAM



@IDEAMColombia



IdeamColombia



Ideam.Instituto

# RESUMEN BOLETÍN DE LA SITUACIÓN SINÓPTICA MENSUAL

**Ghisliane Echeverry Prieto | Directora General**  
**Jennifer Dorado Delgado | Jefe Oficina del Servicio de Pronósticos y Alertas**

**Elaboró:**  
**Alexander M. Martínez Mercado**

**Colaboradores:**  
**Grupo de datos**  
**Profesionales de incendios y deslizamientos**

## OFICINA DEL SERVICIO DE PRONÓSTICO Y ALERTAS

<http://www.ideam.gov.co>

**Correos electrónicos:** [servicio@ideam.gov.co](mailto:servicio@ideam.gov.co), [alertas@ideam.gov.co](mailto:alertas@ideam.gov.co)

Calle 25D N° 96B - 70, piso 3. Bogotá, D.C.

Teléfono: 3075625 ext. 1334 -1336.